
Wärme- und Stoffübertragung I

Dimensionslose Kennzahlen und Heisler Diagramme

**Prof. Dr.-Ing. Reinhold Kneer
Dr.-Ing. Dr. rer. pol. Wilko Rohlfs**

Lernziele

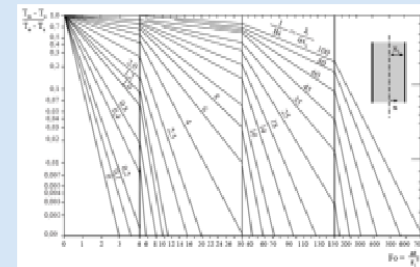
- Dimensionslose Kennzahlen

- Bedeutung dimensionsloser Kennzahlen, insbesondere der Fourier- und Biot-Zahl für den instationären Wärmetransport.

$$\Theta^* = \Theta^*(x^*, y^*, z^*, t^*, Fo, Bi)$$

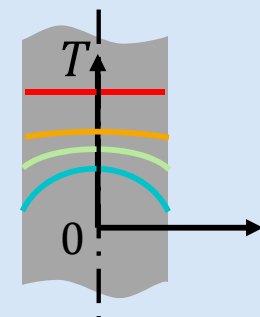
- Heisler Diagramme

- Verständnis der Heisler Diagramme zur Bestimmung der Körperkerntemperatur, des örtlichen Temperaturverlaufs und des Wärmestroms.

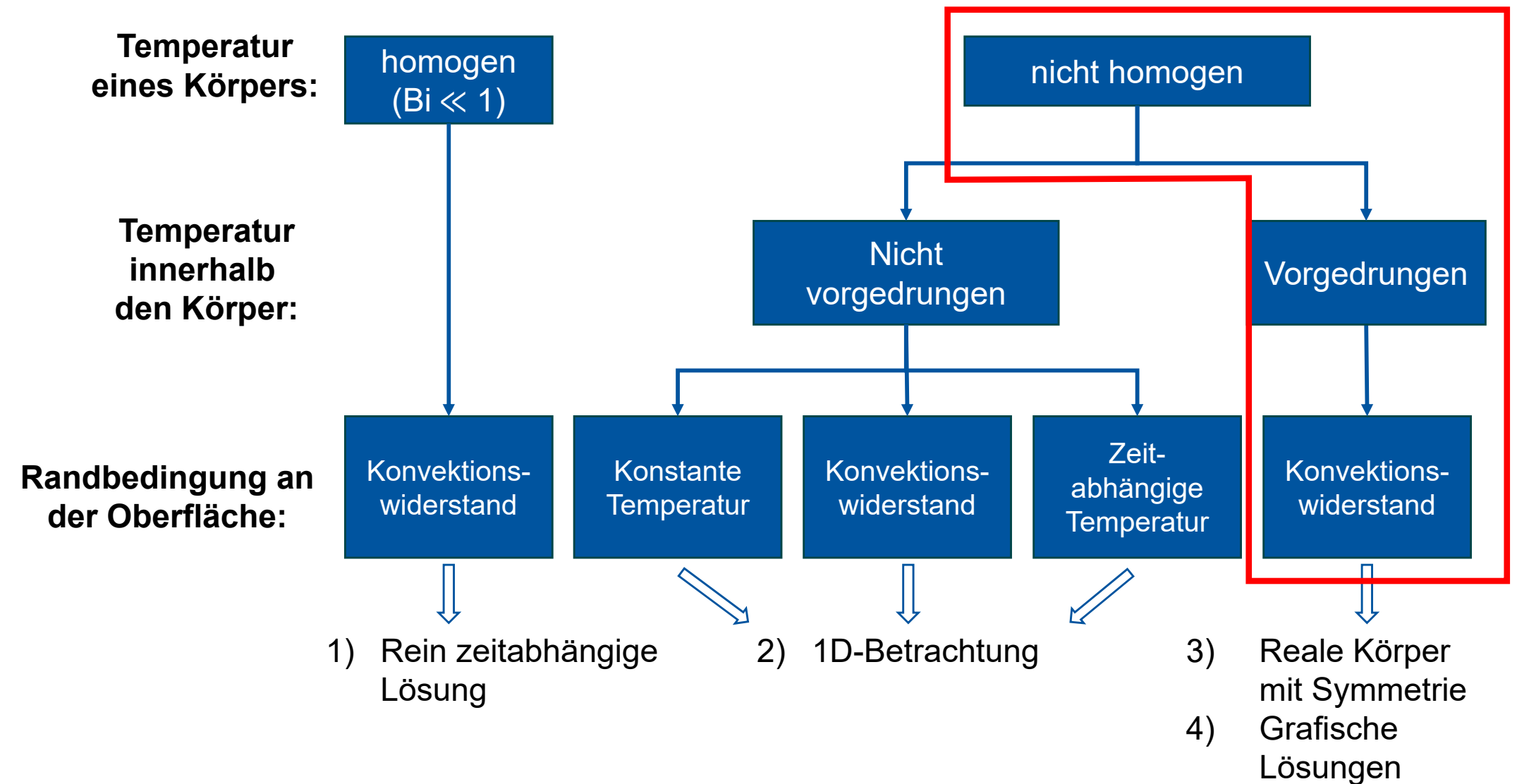


- Beispiel: Abschrecken einer Stahlplatte

- Anwendung der Heisler Diagramme.

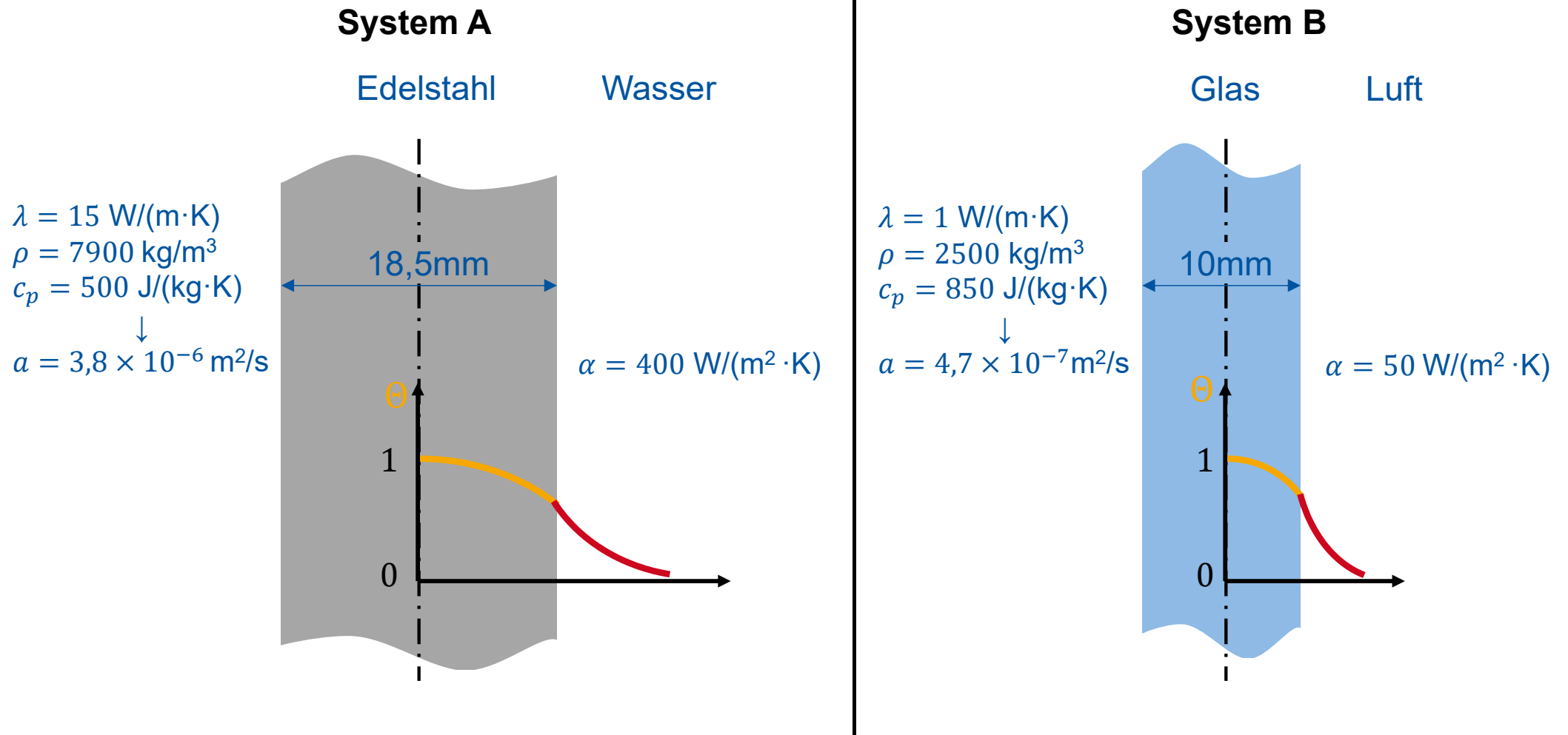


Wie lässt sich das Problem vereinfachen?



Dimensionslose Form

Kann die Temperaturverteilung in zwei unterschiedlichen abgekühlten bzw. aufgeheizten Systemen ähnlich aussehen?



Dimensionslose Form

Instationäre Wärmeleitung

3-D Erhaltungsgleichung ohne Advektion und Quelle

$$\rho c_p \frac{\partial T}{\partial t} = \frac{\partial}{\partial x} \left(\lambda \frac{\partial T}{\partial x} \right) + \frac{\partial}{\partial y} \left(\lambda \frac{\partial T}{\partial y} \right) + \frac{\partial}{\partial z} \left(\lambda \frac{\partial T}{\partial z} \right)$$

Dimensionslose Gleichung

$$\frac{\partial \Theta^*}{\partial t^*} = \textcolor{red}{Fo} \left(\frac{\partial^2 \Theta^*}{\partial x^{*2}} + \frac{\partial^2 \Theta^*}{\partial y^{*2}} + \frac{\partial^2 \Theta^*}{\partial z^{*2}} \right)$$

Lösung

$T = T(x, y, z, t, \rho, c_p, \lambda, \text{Anfangs - und Randbedingungen})$

T_0

α, T_u

Dimensionslose Lösung

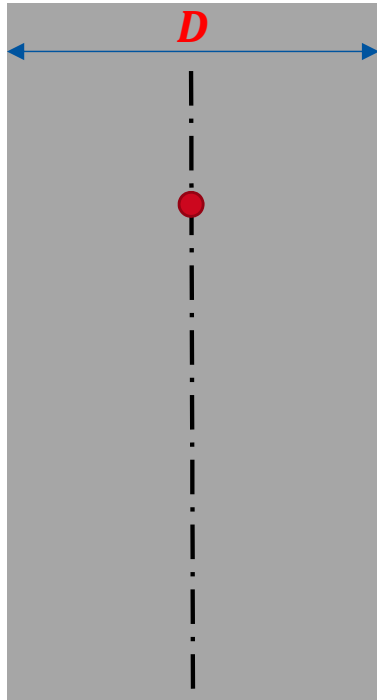
$$\Theta^* = \Theta^*(x^*, y^*, z^*, t^*, \textcolor{red}{Fo}, \textcolor{green}{Bi})$$

Dimensionslose Variablen

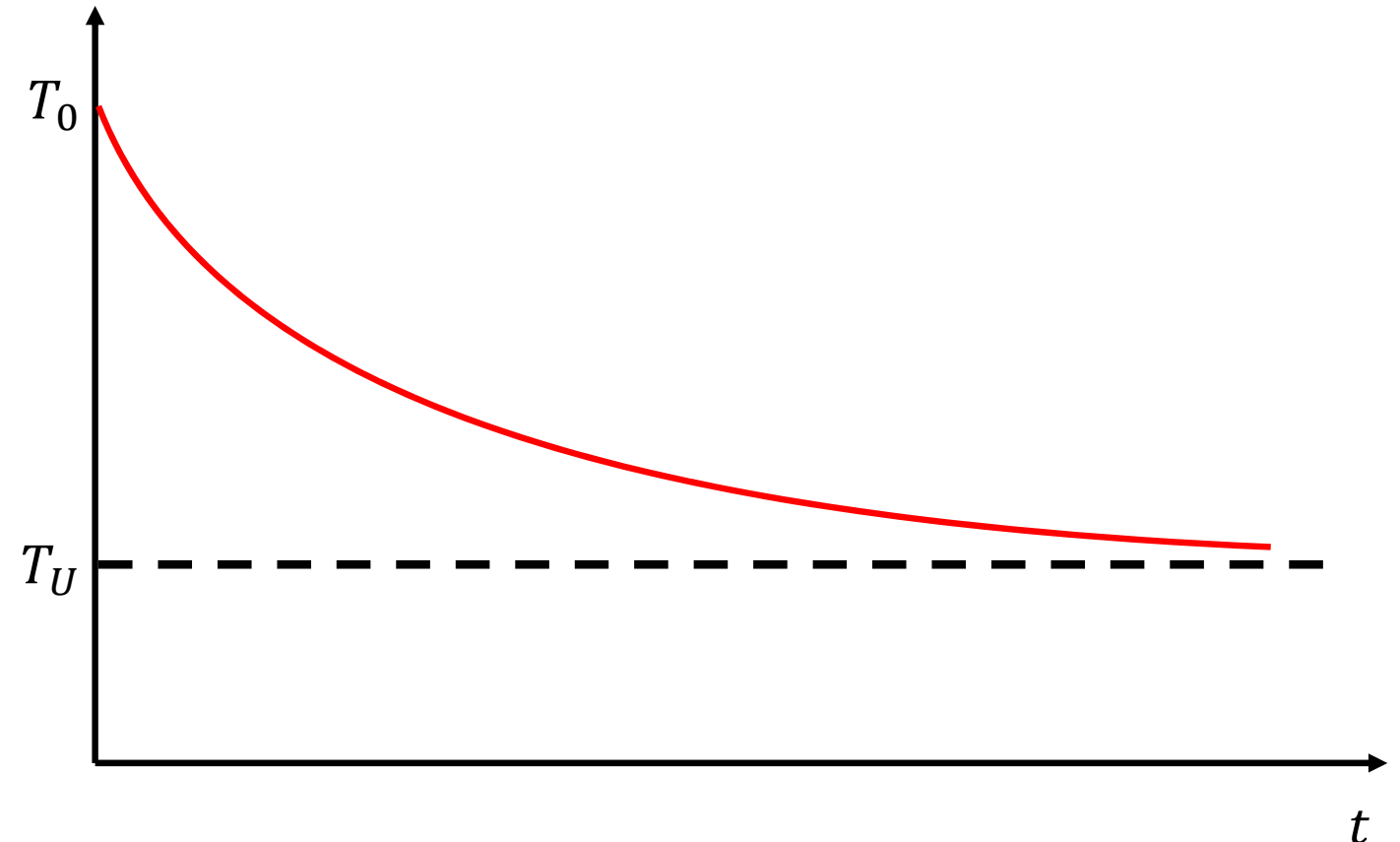
$$x^* = \frac{x}{\delta_x} \quad y^* = \frac{y}{\delta_y} \quad z^* = \frac{z}{\delta_z} \quad t^* = \frac{t}{\tau} \quad \Theta^* = \frac{T - T_u}{T_0 - T_u}$$

$$Bi = \frac{\alpha \delta}{\lambda} \quad Fo = \frac{\alpha \tau}{\delta^2} = \frac{\lambda}{\rho c_p} \frac{\tau}{\delta^2}$$

Zeitlicher Verlauf der Körperkerntemperatur

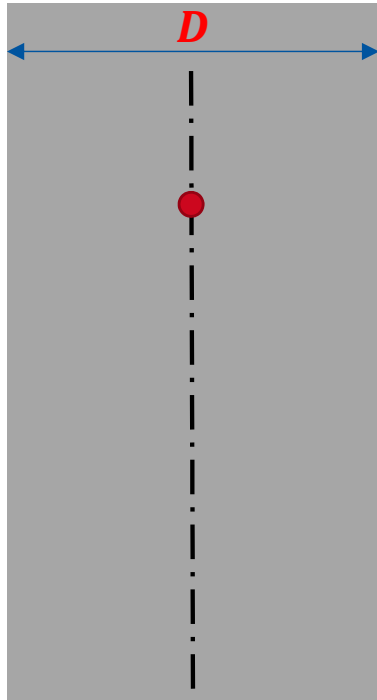


Relevante Abhängigkeiten: $Bi = \frac{\alpha\delta}{\lambda}$ $Fo = \frac{\alpha\tau}{\delta^2} = \frac{\lambda}{\rho c_p} \frac{\tau}{\delta^2}$



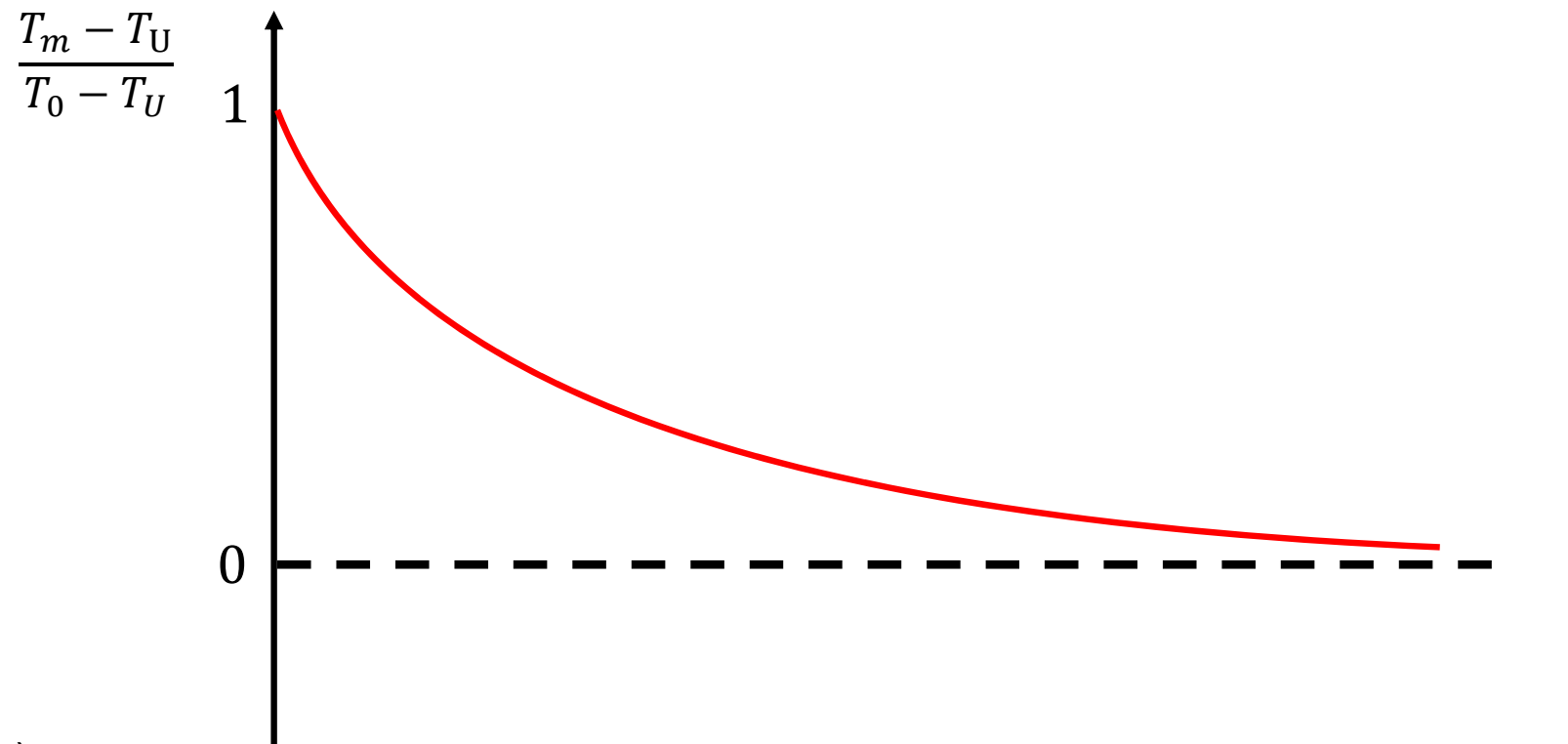
Platte
(unendlicher Ausdehnung)

Zeitlicher Verlauf der Körperkerntemperatur



Relevante Abhängigkeiten:

$$Bi = \frac{\alpha\delta}{\lambda} \quad Fo = \frac{\alpha\tau}{\delta^2} = \frac{\lambda}{\rho c_p} \frac{\tau}{\delta^2}$$

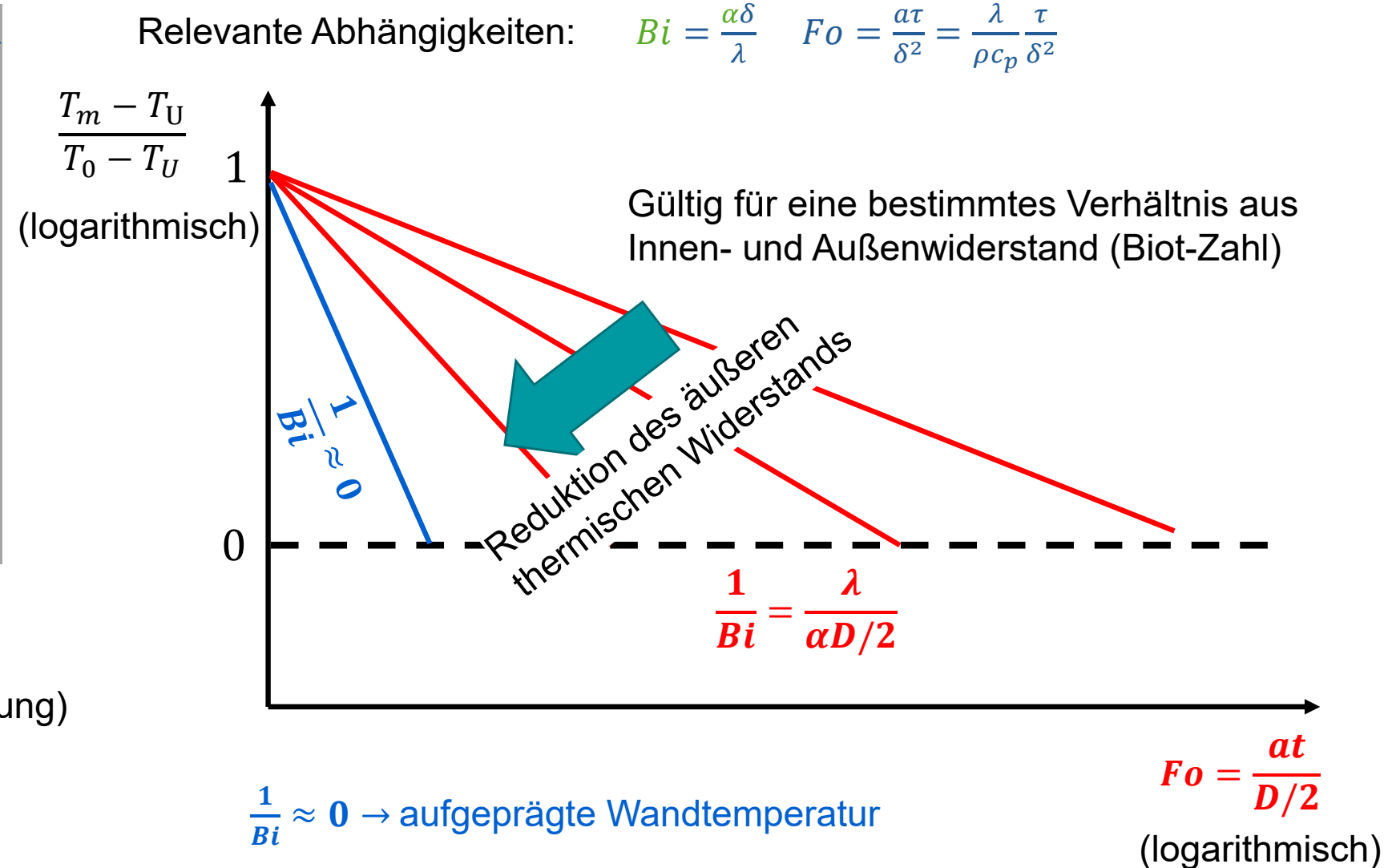
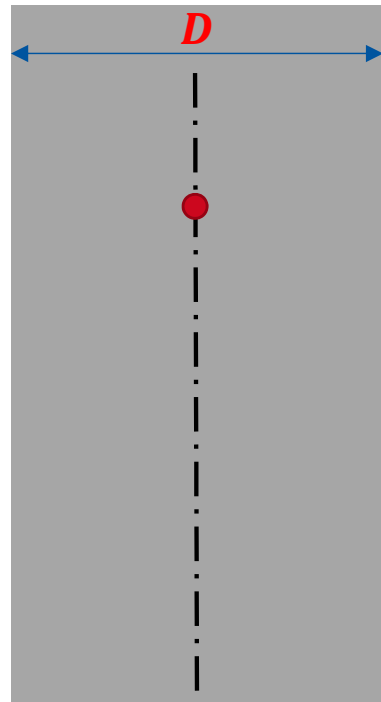


Platte

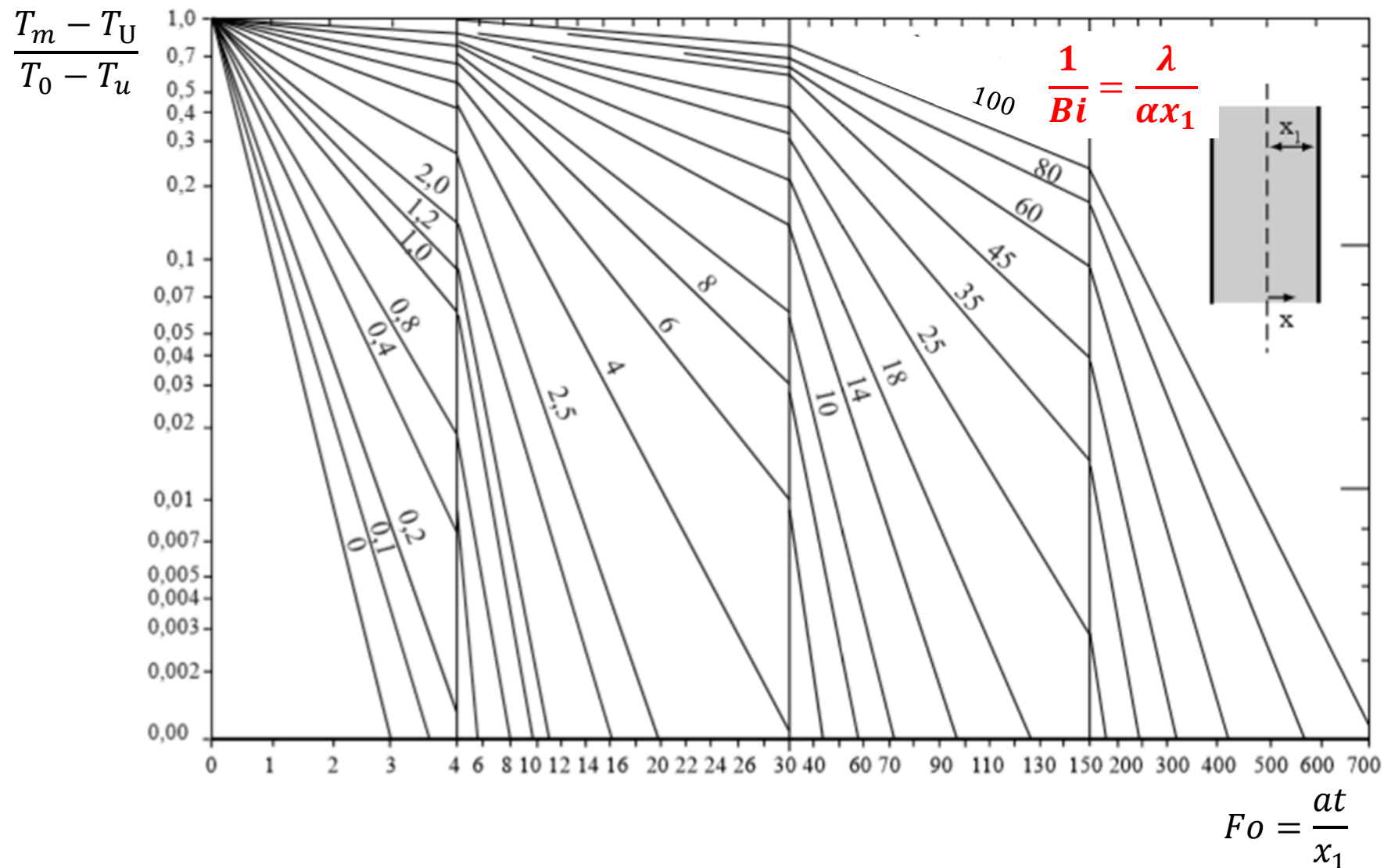
(unendlicher Ausdehnung)

$$Fo = \frac{at}{D/2}$$

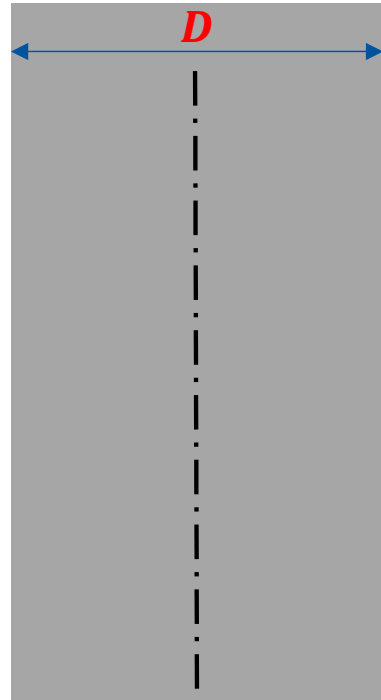
Zeitlicher Verlauf der Körperkerntemperatur (doppellogarithmische Auftragung)



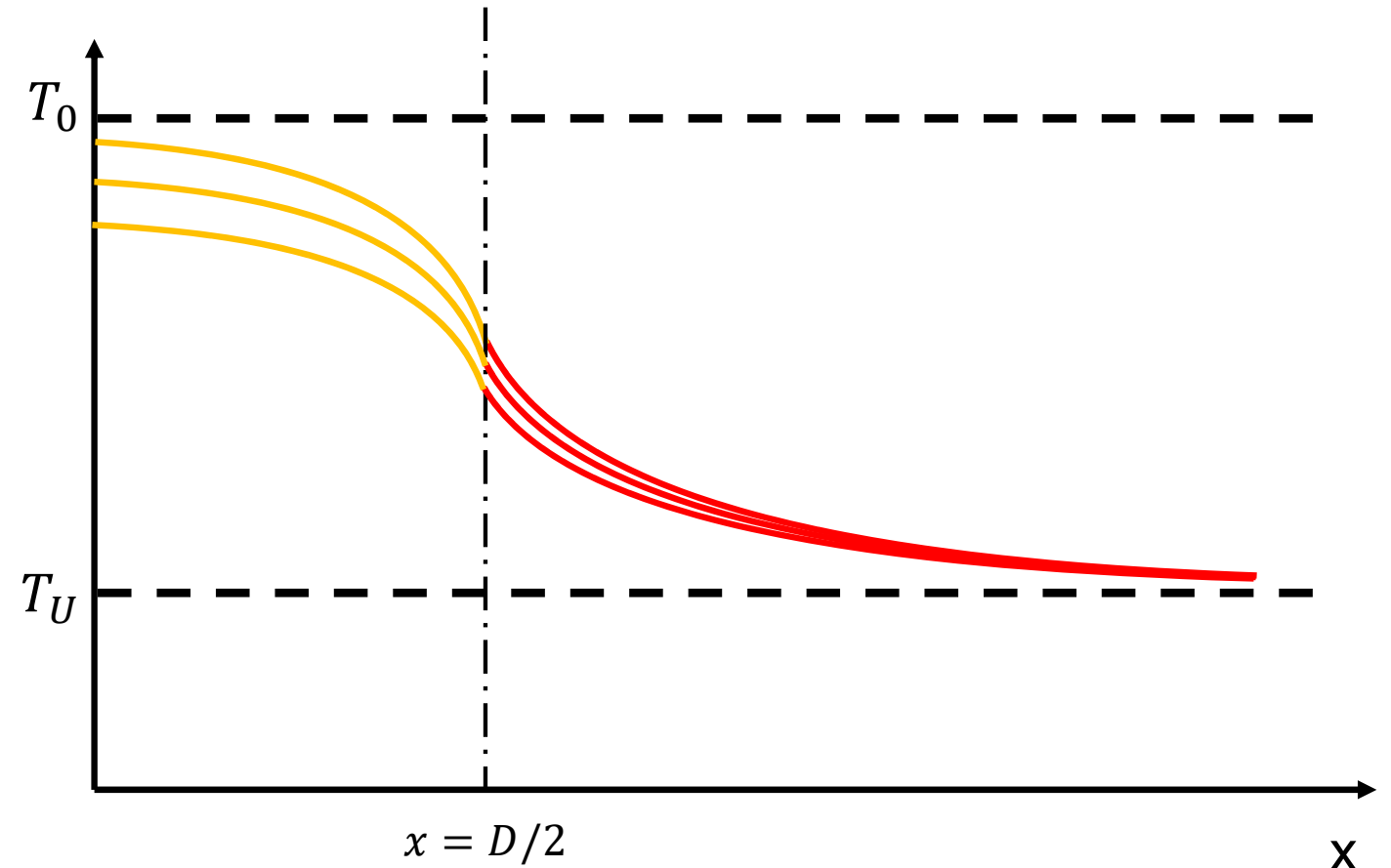
Heisler Diagramm: Zeitlicher Verlauf der Körperkerntemperatur



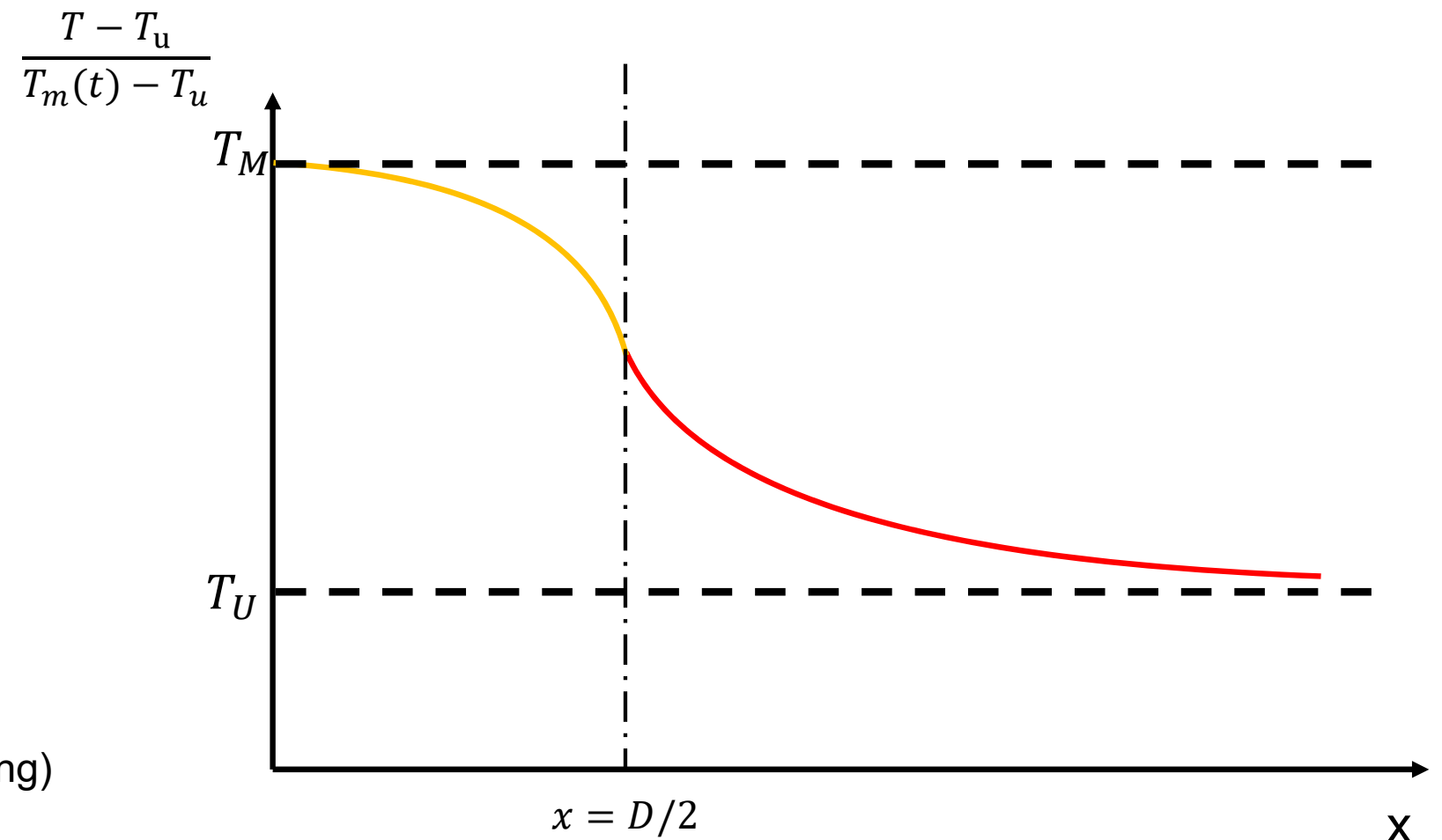
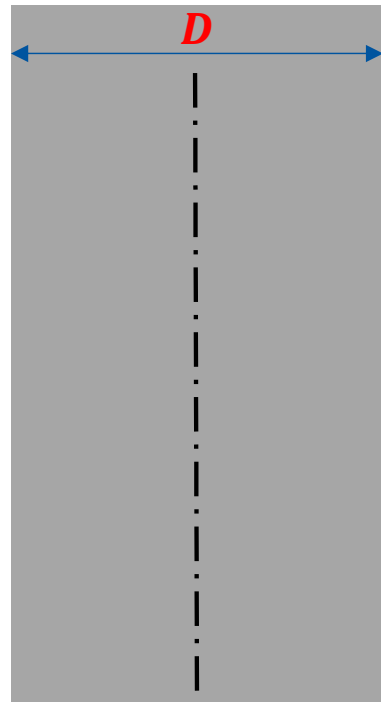
Örtlicher Verlauf der Körpertemperatur



Platte
(unendlicher Ausdehnung)

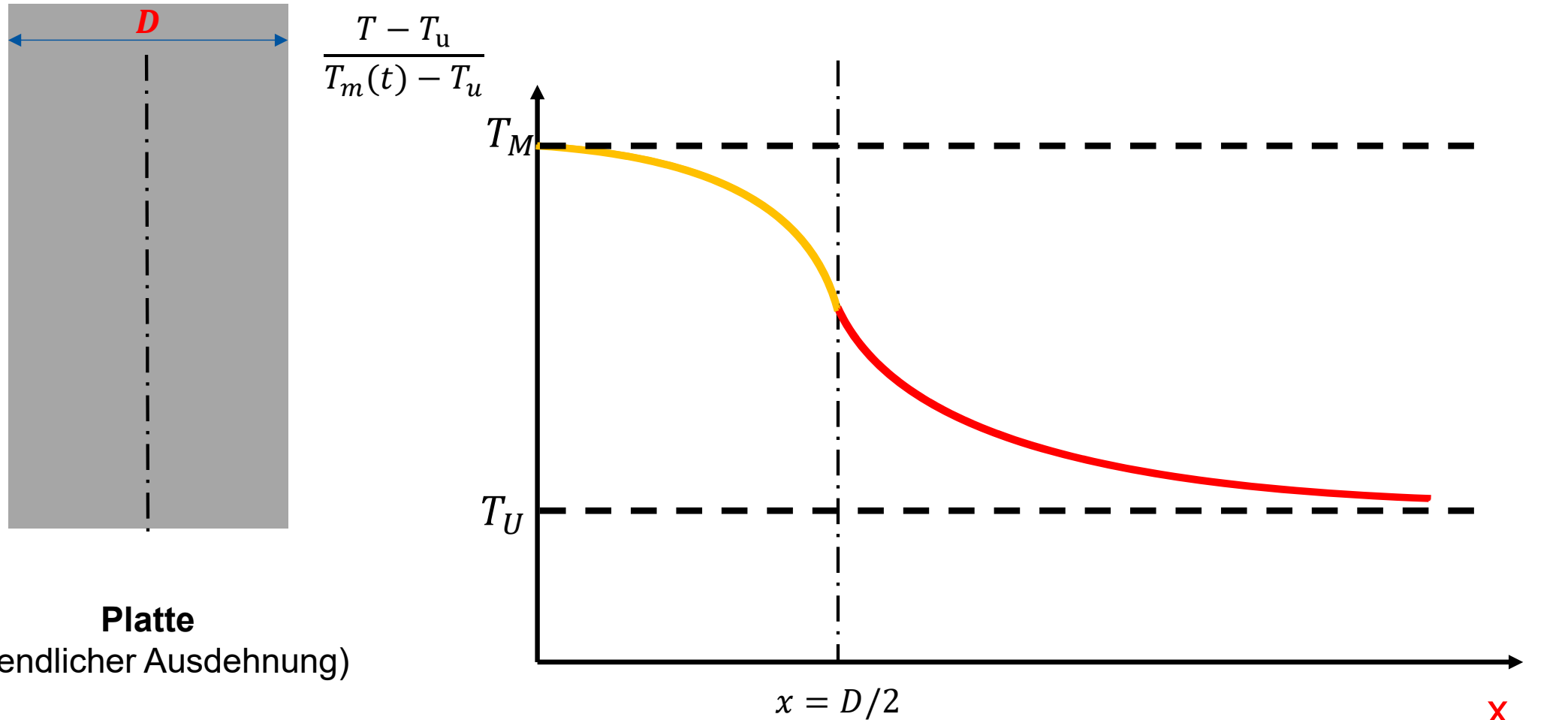


Örtlicher Verlauf der Körpertemperatur



Platte
(unendlicher Ausdehnung)

Örtlicher Verlauf der Körpertemperatur

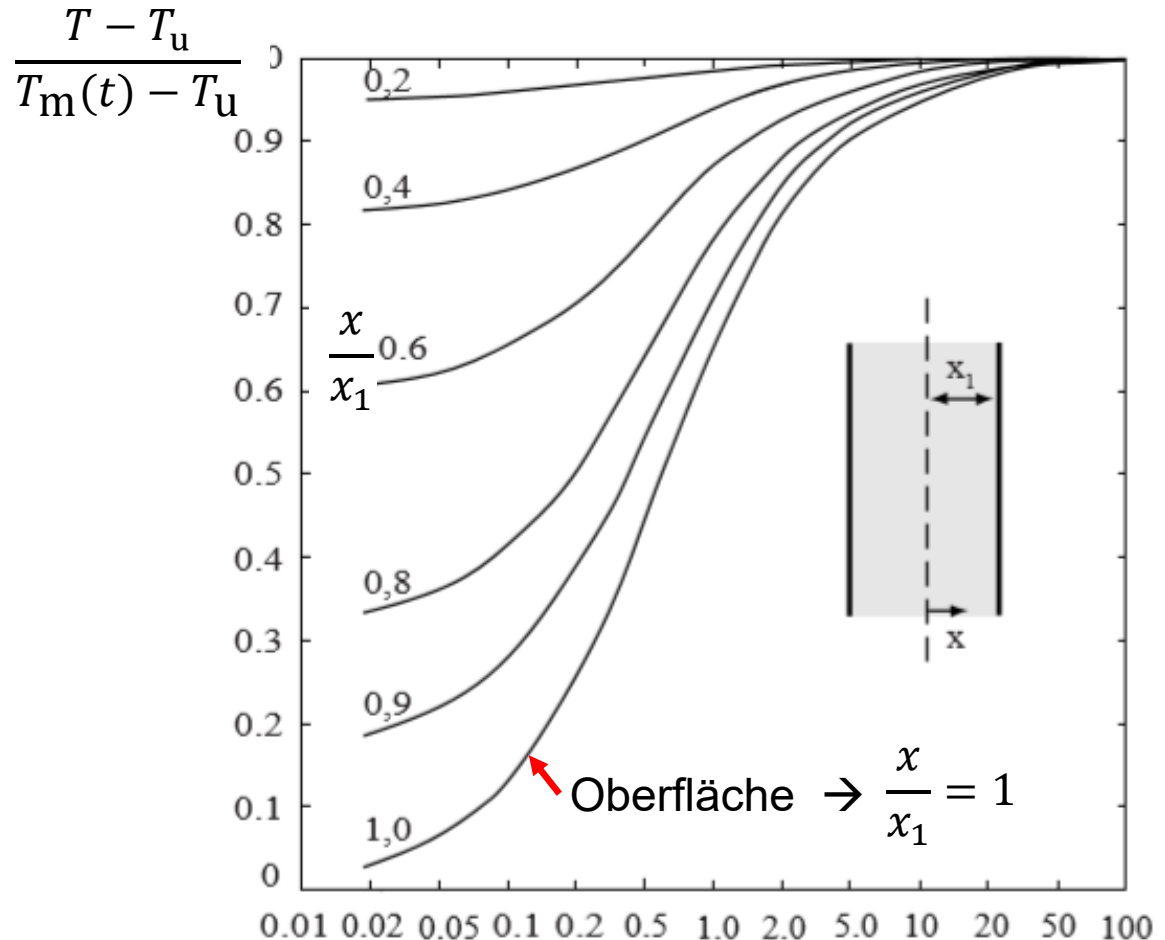


Platte
(unendlicher Ausdehnung)



$$\frac{1}{Bi} = \frac{\lambda}{\alpha x_1}$$

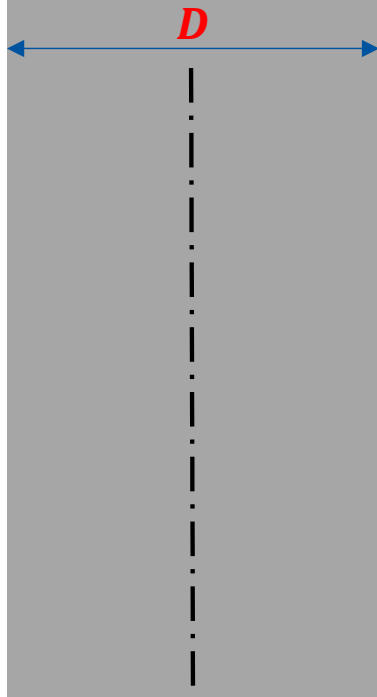
Heisler Diagramm: Örtlicher Temperaturverlauf



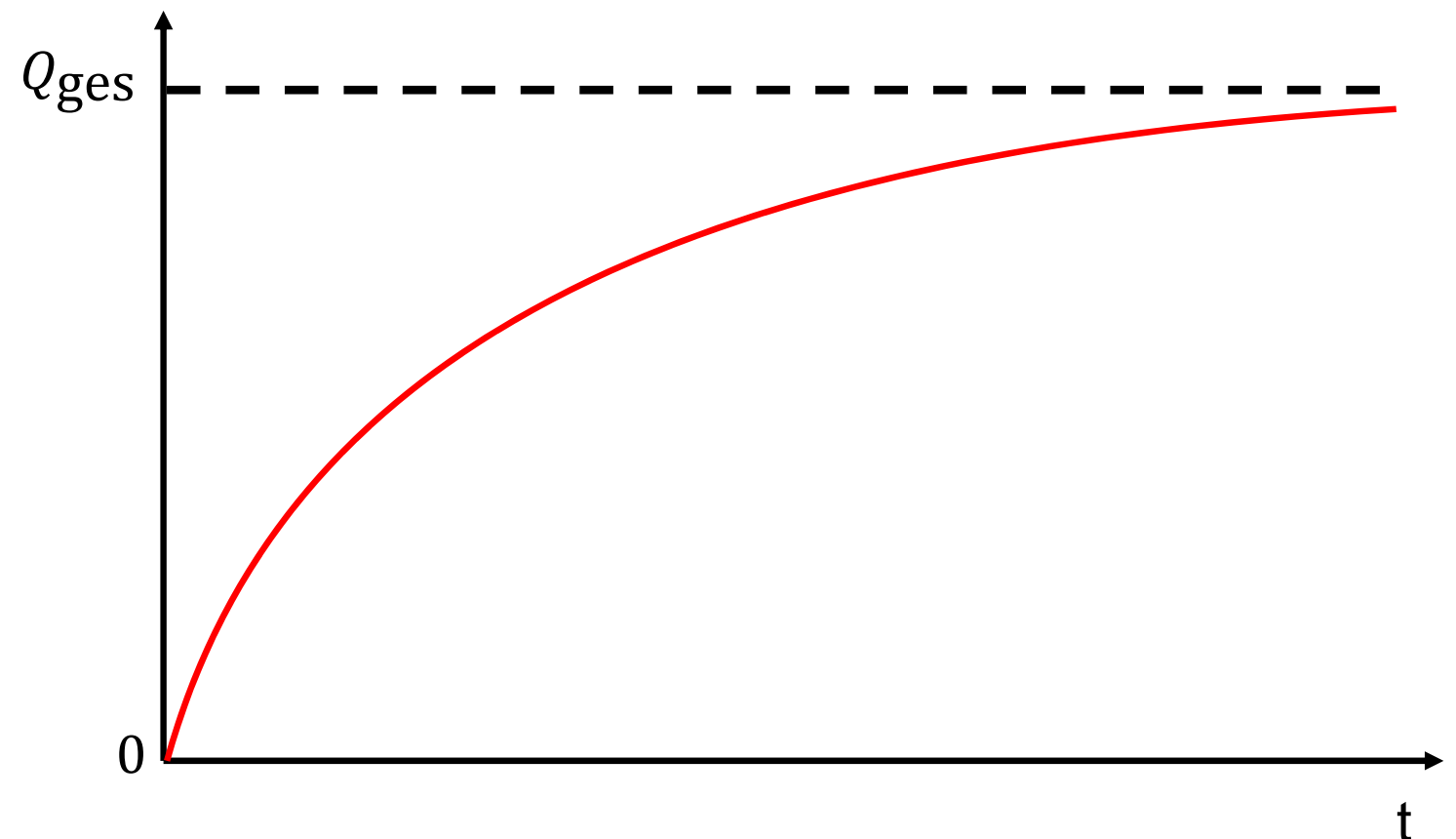
Körpermitte: $\rightarrow \frac{x}{x_1} = 0$

$$\frac{1}{Bi} = \frac{\lambda}{\alpha x_1} \quad (\text{logarithmisch})$$

Zeitlicher Verlauf der abgegebenen Wärme

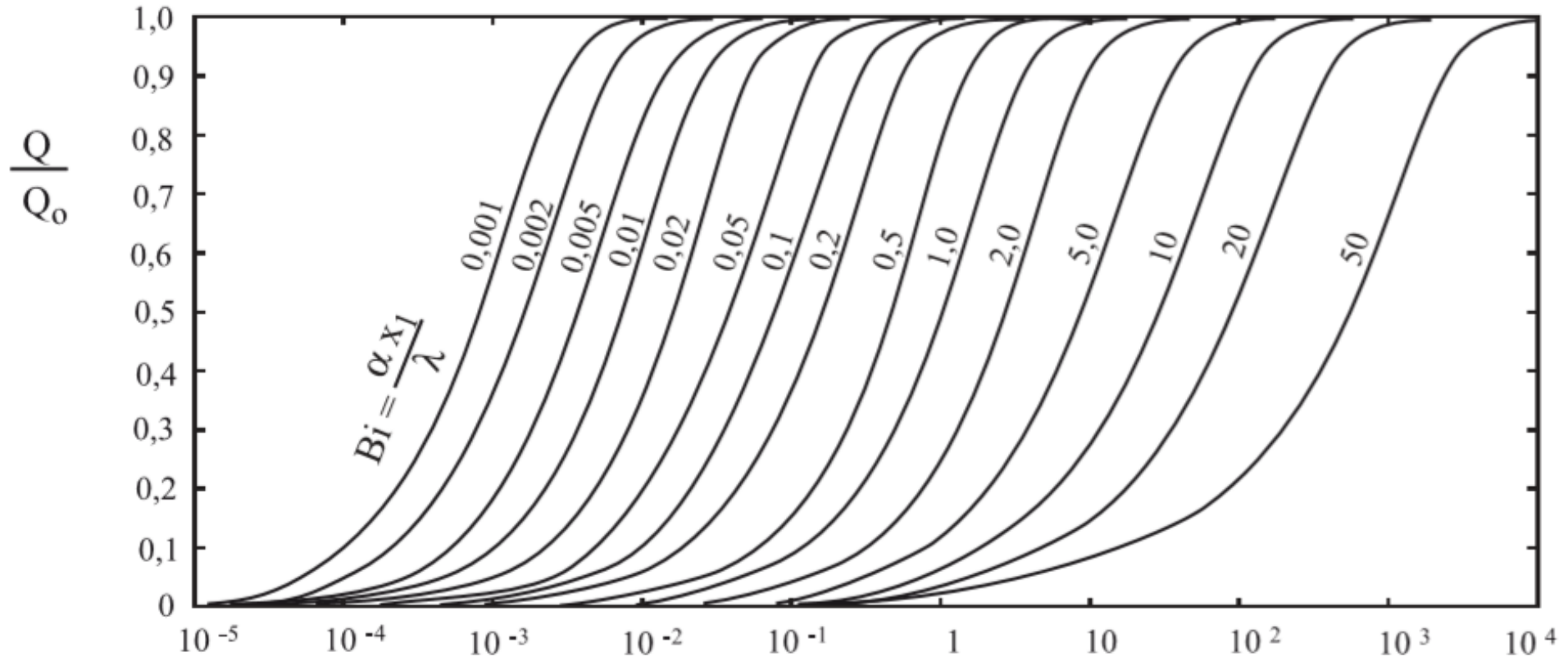


Insgesamt im Objekt gespeichert Wärme: $Q_{\text{ges}} = mc_p(T_0 - T_u)$



Platte
(unendlicher Ausdehnung)

Heisler Diagramm: Zeitlicher Verlauf der abgegebenen Wärme

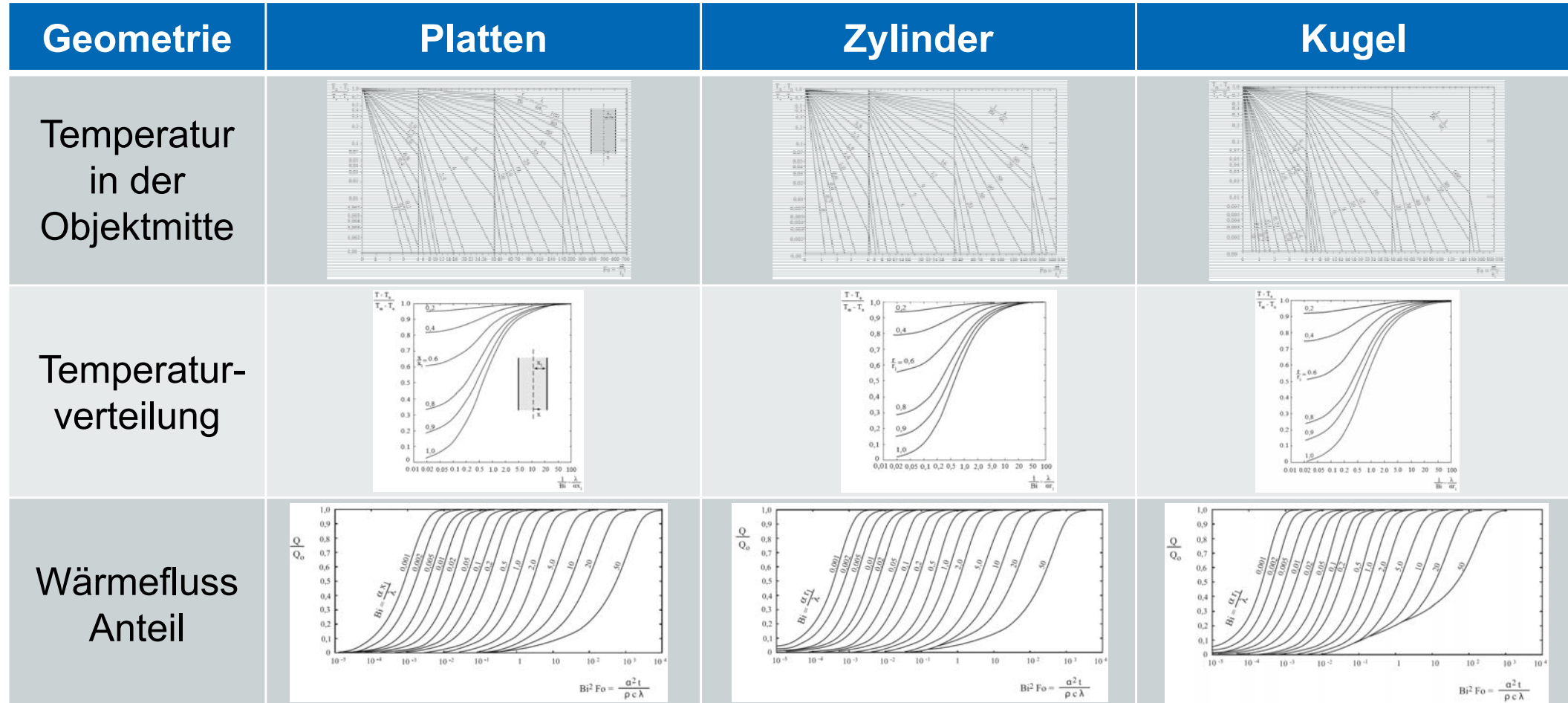


$$Bi^2 \cdot Fo = \frac{\alpha^2 t}{\rho c \lambda} \quad (\text{logarithmisch})$$

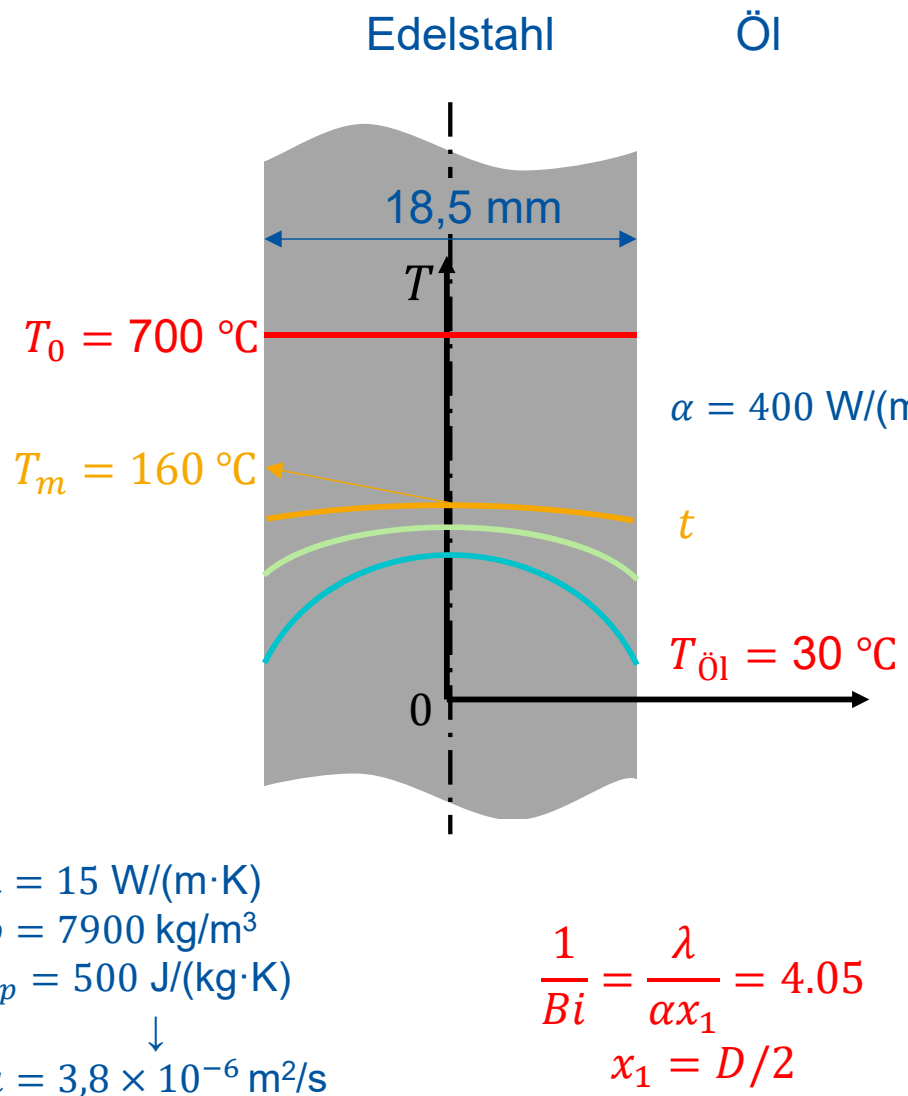
Heisler Diagramme verschiedener symmetrischer Körper

Dimensionslose Lösung

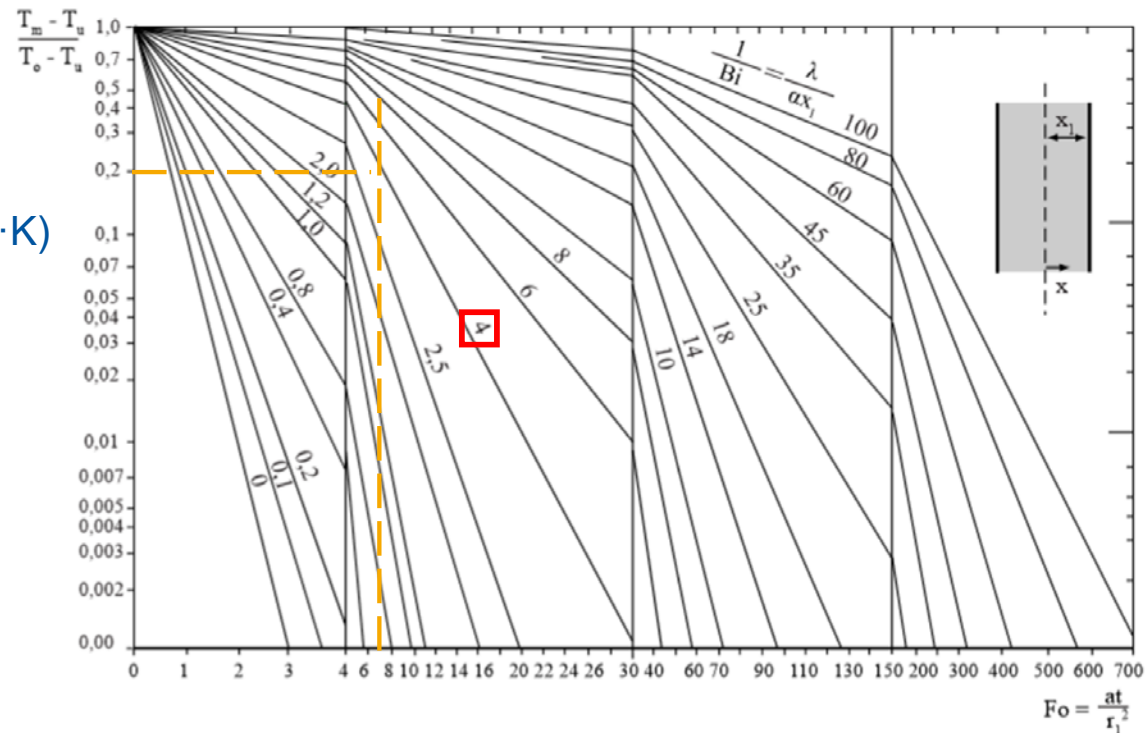
$$\Theta^* = \Theta^*(x^*, t^*, Fo, Bi)$$



Beispiel: Abschrecken einer Stahlplatte

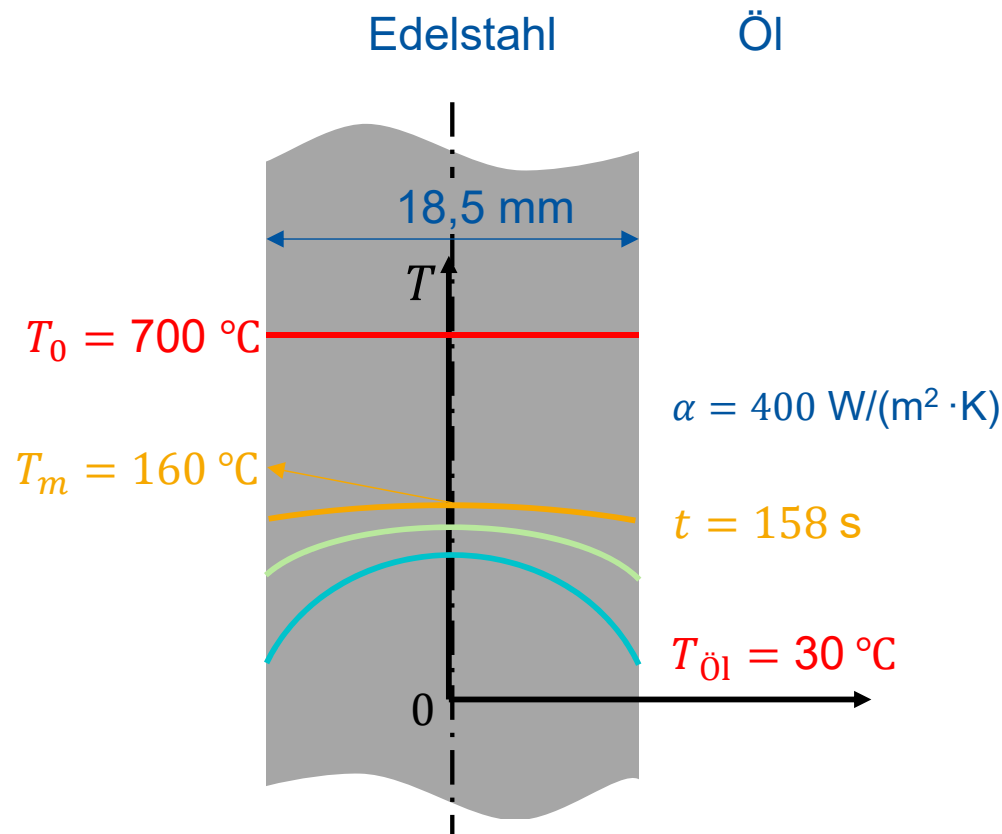


a) Nach welcher Zeit ist die Mitteltemperatur T_m auf $160 \text{ }^\circ\text{C}$ abgekühlt?



$$\frac{T_m - T_{\text{Öl}}}{T_0 - T_{\text{Öl}}} = 0,19 \quad \Rightarrow Fo = \frac{at}{x_1^2} = 7 \quad \Rightarrow t = 158 \text{ s}$$

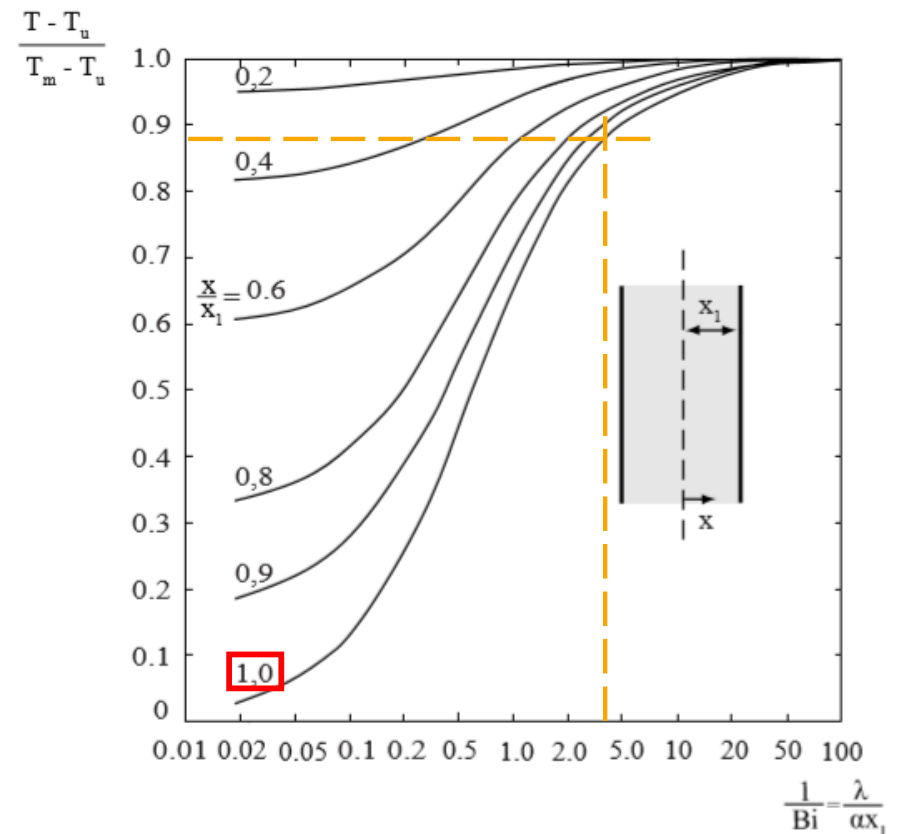
Beispiel: Abschrecken einer Stahlplatte



$$\begin{aligned}\lambda &= 15 \text{ W}/(\text{m} \cdot \text{K}) \\ \rho &= 7900 \text{ kg/m}^3 \\ c_p &= 500 \text{ J}/(\text{kg} \cdot \text{K}) \\ a &= 3,8 \times 10^{-6} \text{ m}^2/\text{s}\end{aligned}$$

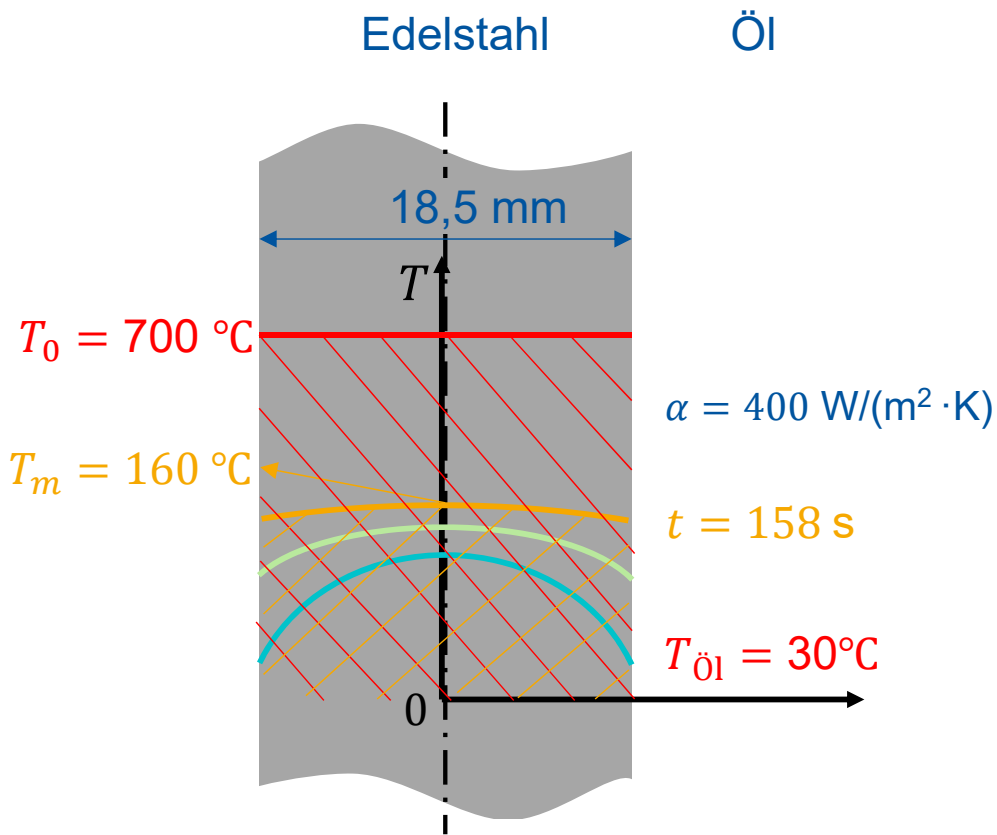
$$\frac{1}{Bi} = \frac{\lambda}{\alpha x_1} = 4.05 \quad x_1 = D/2$$

b) Welchen Wert hat die Temperatur T an der Plattenoberfläche nach $t = 158 \text{ s}$?



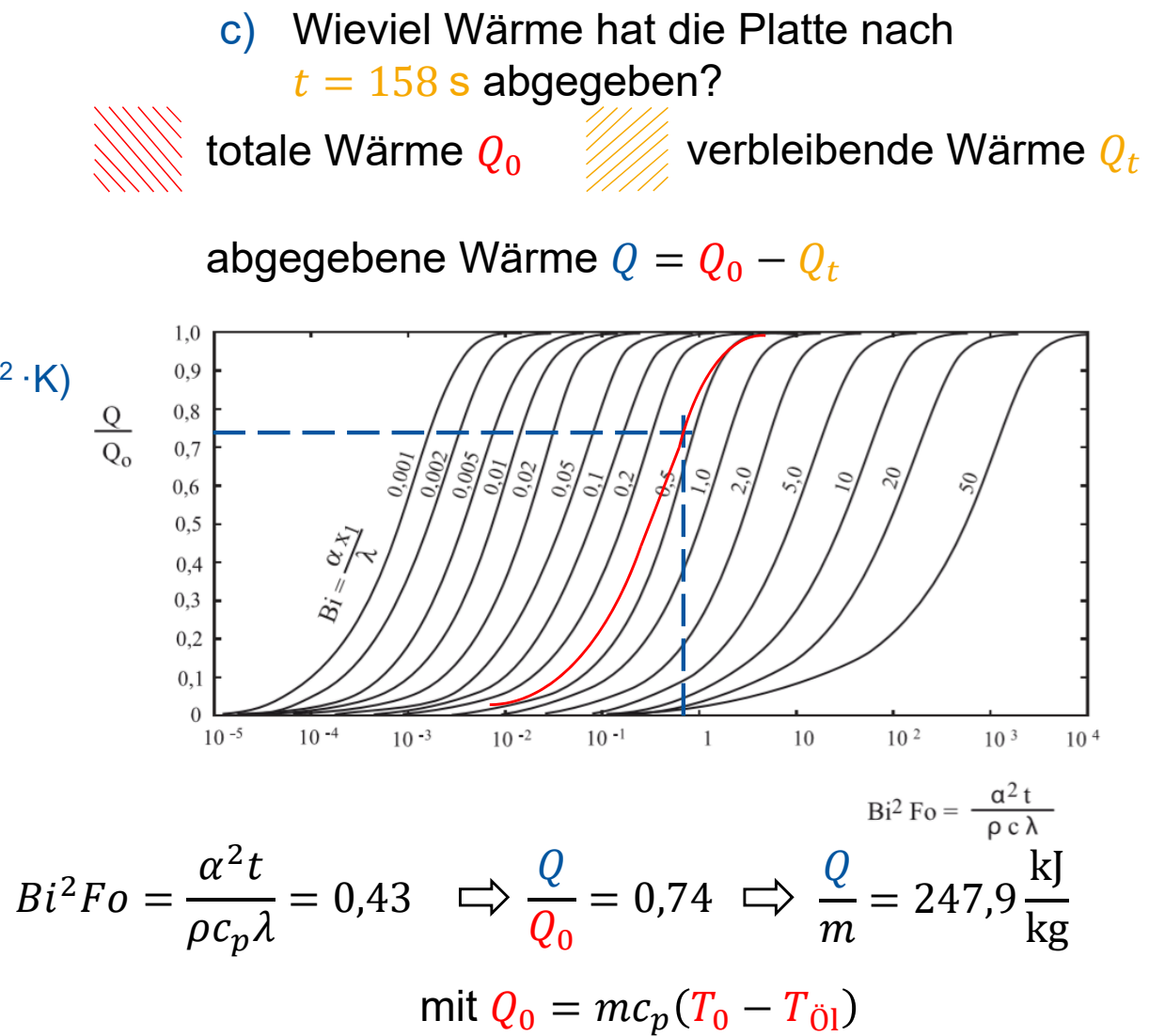
$$\frac{1}{Bi} = \frac{\lambda}{\alpha x_1} = 8 \Leftrightarrow \frac{T - T_{\text{oil}}}{T_m - T_{\text{oil}}} = 0,88 \Leftrightarrow T = 144 \text{ }^\circ\text{C}$$

Beispiel: Abschrecken einer Stahlplatte



$$\begin{aligned}\lambda &= 15 \text{ W}/(\text{m} \cdot \text{K}) \\ \rho &= 7900 \text{ kg/m}^3 \\ c_p &= 500 \text{ J}/(\text{kg} \cdot \text{K}) \\ \downarrow \\ a &= 3,8 \times 10^{-6} \text{ m}^2/\text{s}\end{aligned}$$

$$\begin{aligned}Bi &= 0,25 \\ Fo &= 7\end{aligned}$$

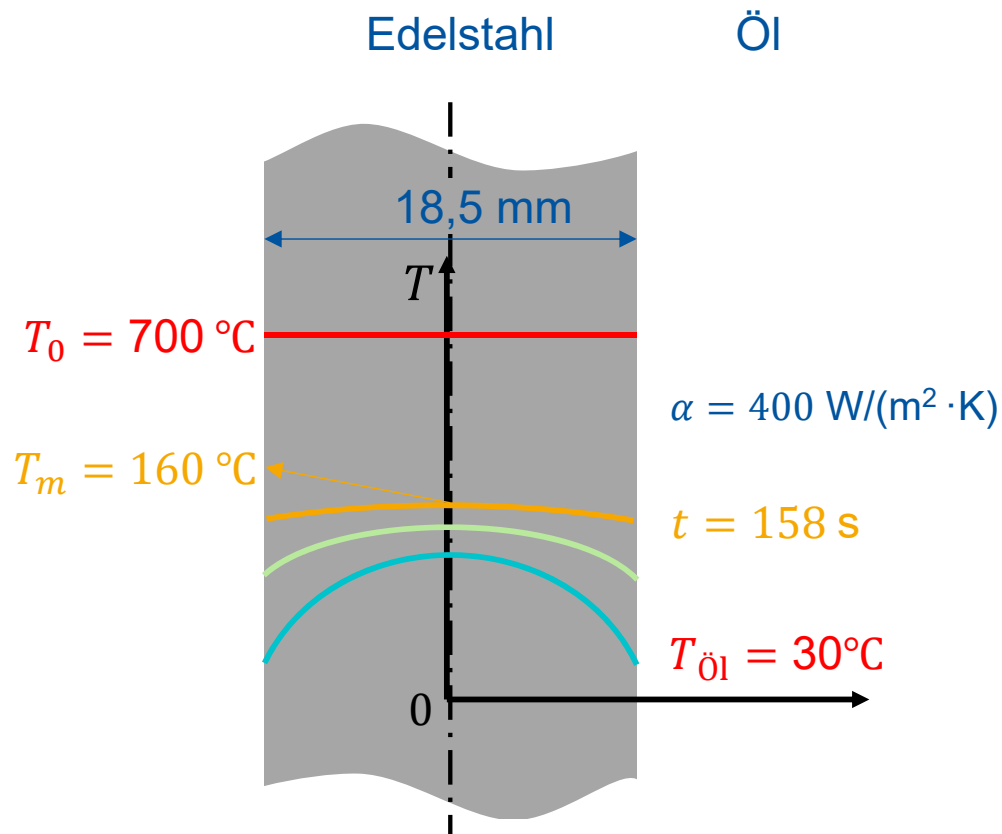


Verständnisfragen

Durch welche beiden Kennzahlen ist das instationäre Wärmeübertragungsproblem eines Körpers mit zusätzlichem äußerem thermischem Widerstand beschrieben?

Welches Hilfsmittel erlaubt eine Bestimmung des Temperaturverlaufs oder der übertragenen Wärmemenge für ausgedehnte Platten, lange Zylinder oder Kugeln?

Beispiel: Abschrecken einer Stahlplatte



$$\lambda = 15 \text{ W/(m}\cdot\text{K)}$$

$$\rho = 7900 \text{ kg/m}^3$$

$$c_p = 500 \text{ J/(kg}\cdot\text{K)}$$

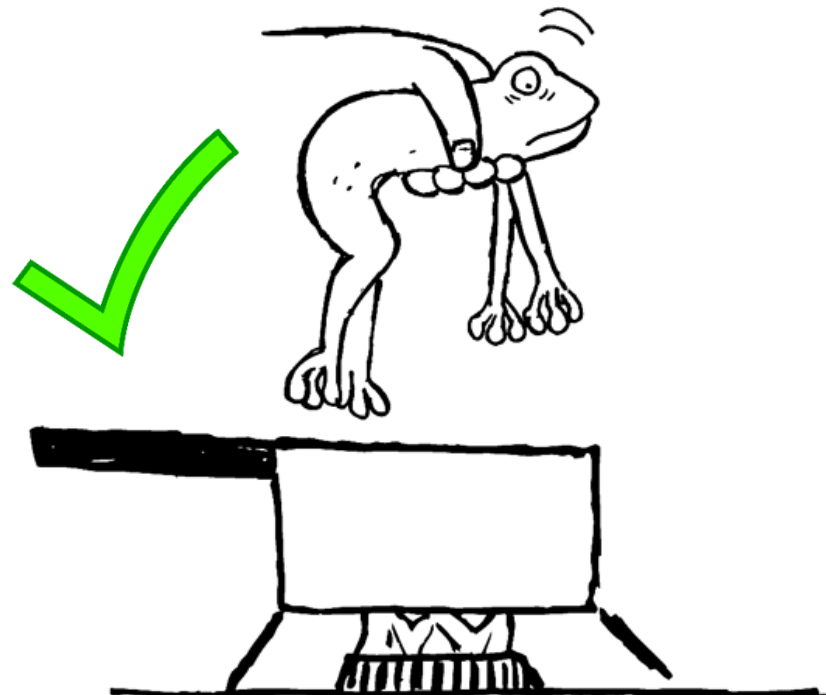
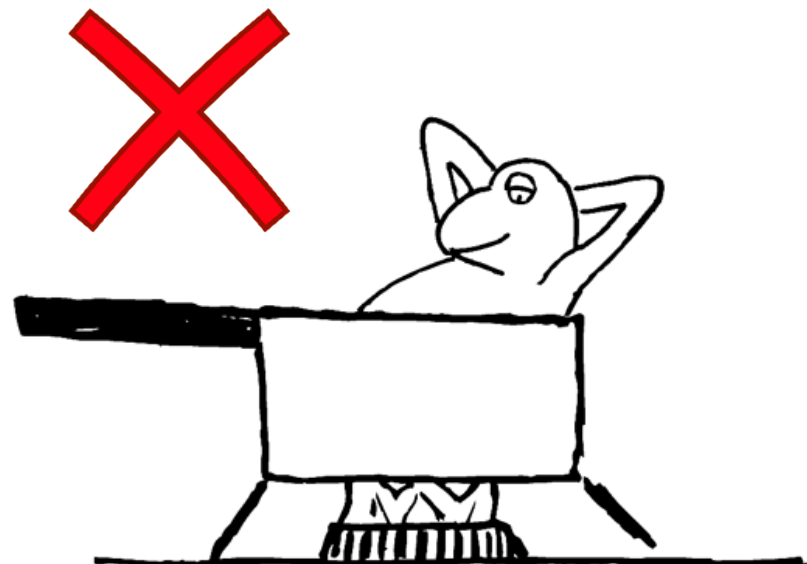
$$\downarrow \\ a = 3,8 \times 10^{-6} \text{ m}^2/\text{s}$$

- d) Wie hoch ist die mittlere spezifische Kühlleistung des Ölbads im Zeitraum $0 < t < 158 \text{ s}$?

$$\frac{\dot{Q}}{m} = \frac{Q / \Delta t}{m} = \frac{247,9 \frac{\text{kJ}}{\text{kg}}}{158 \text{ s}} = 1,57 \frac{\text{kW}}{\text{kg}}$$

Situation

Abschätzung des Temperaturverlauf in Körpern bestimmter Geometrie,
deren Umgebungstemperatur bei $t = 0$ plötzlich geändert wird.



Quelle: <https://i.gifer.com/4ej9>